

# SEM0501

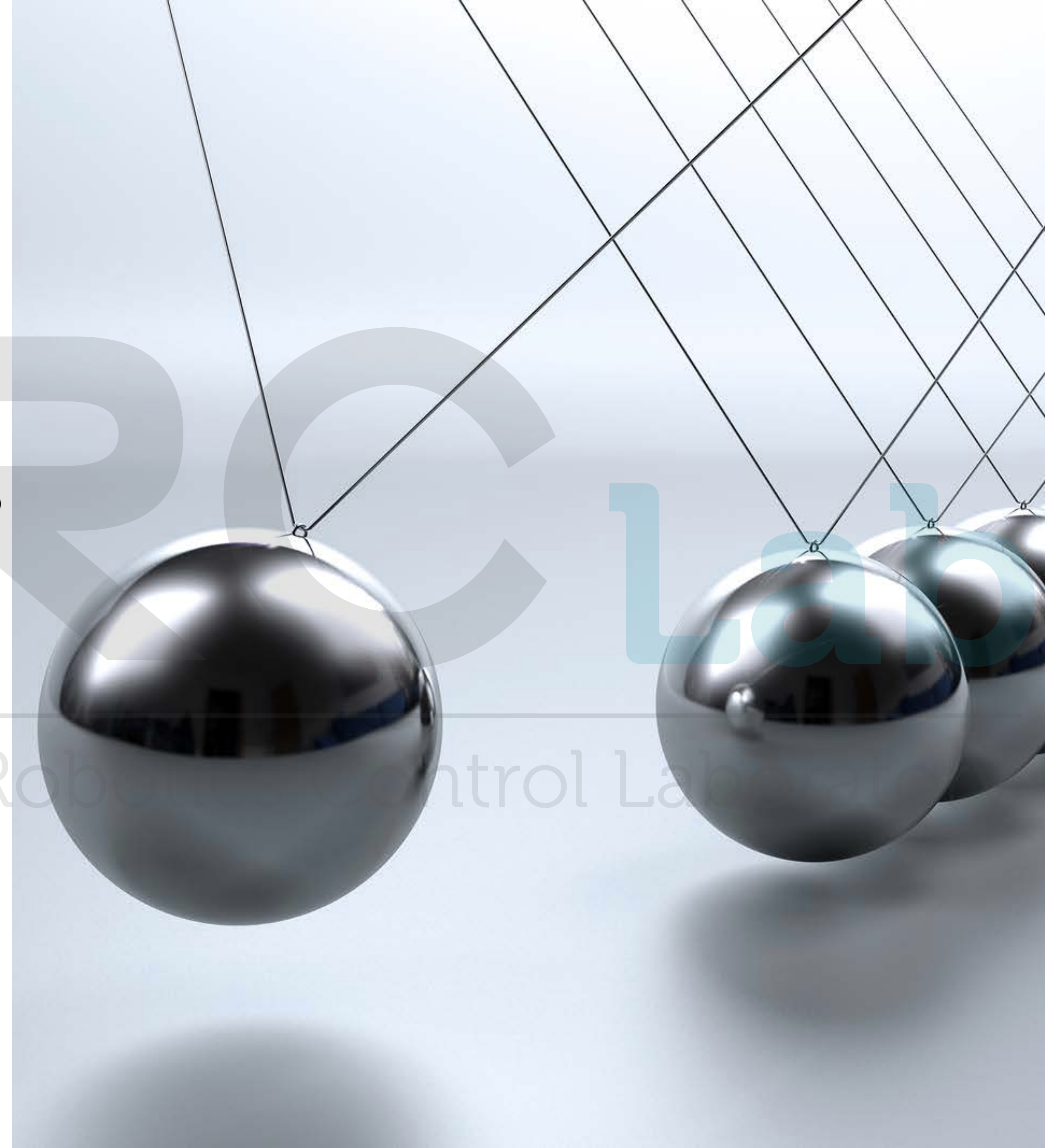
## Dinâmica Aplicada às Máquinas

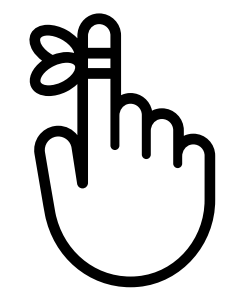
Aula #16 – Forças conservativas e conservação da energia; princípio do trabalho para corpos rígidos

**Prof. Dr. Thiago Boaventura**

[tboaventura@usp.br](mailto:tboaventura@usp.br)

São Carlos, 19/10/18



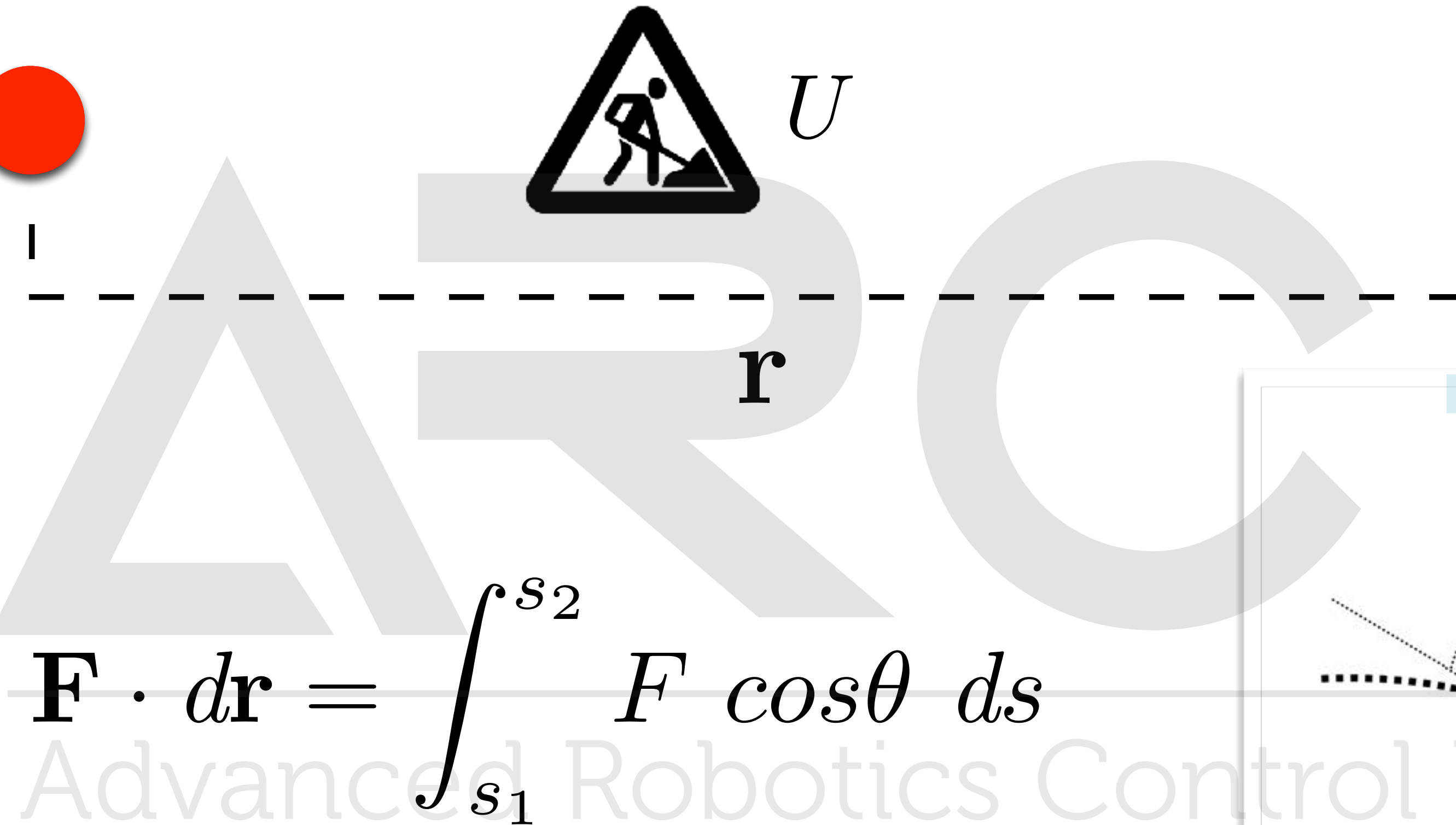


# Trabalho de uma força

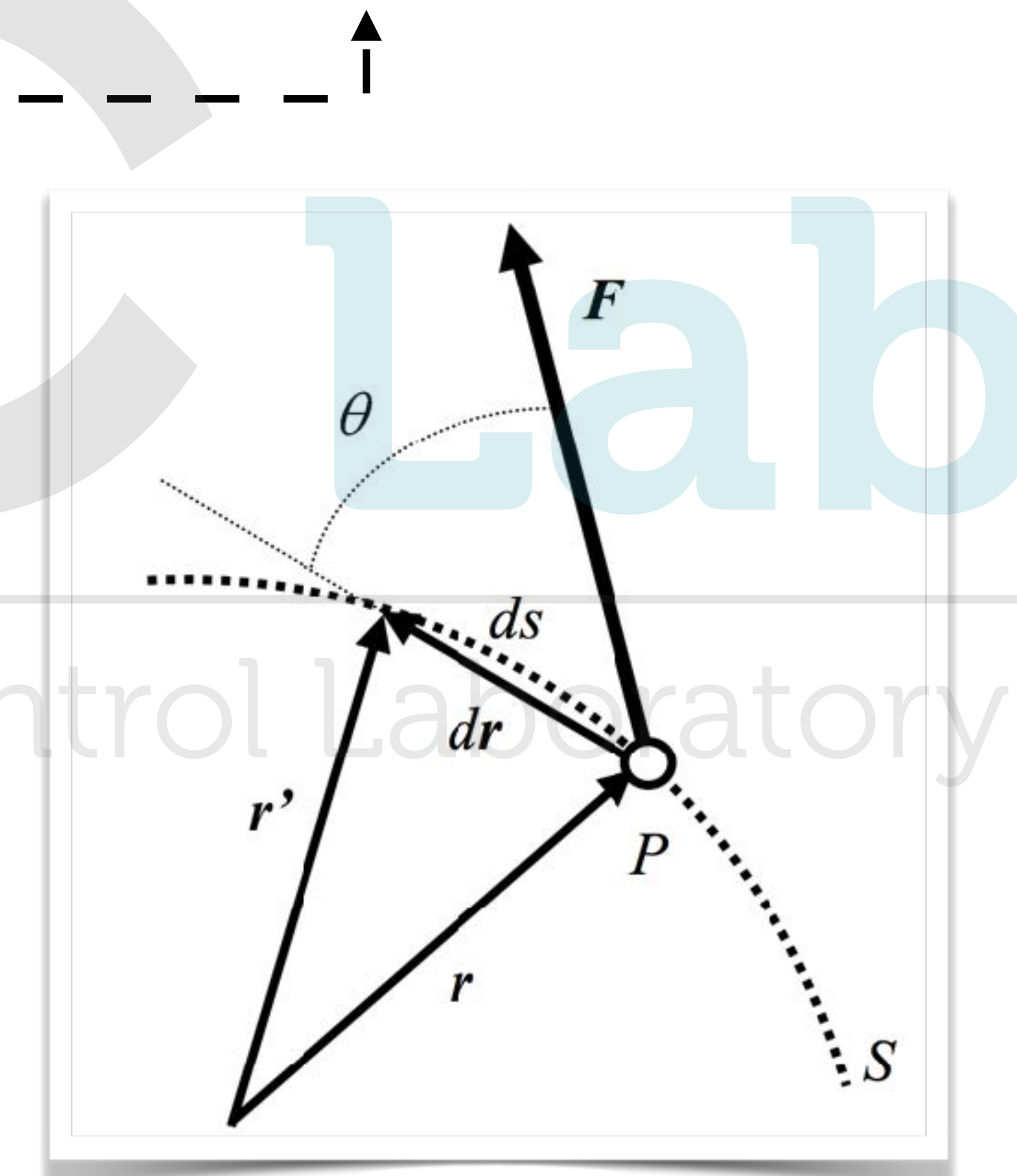
Revisão aula passada...

$$U = \int_{\mathbf{r}}^{\mathbf{r}'} \mathbf{F} \cdot d\mathbf{r}$$

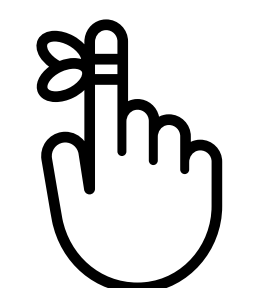
escalar



Joule  
(1 J = 1 N x 1 m)



Mucheroni, 2011



# Casos particulares

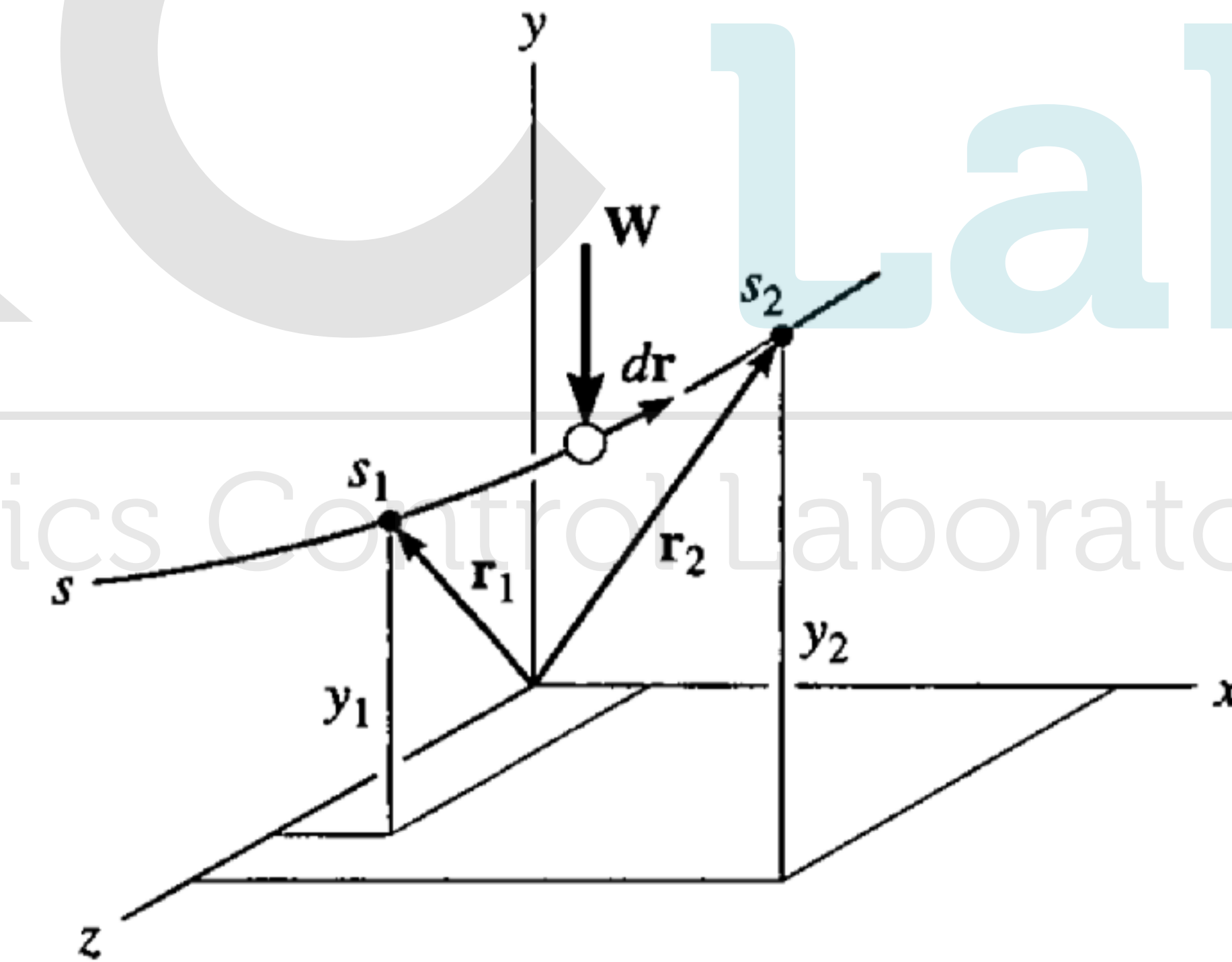
Revisão aula passada...

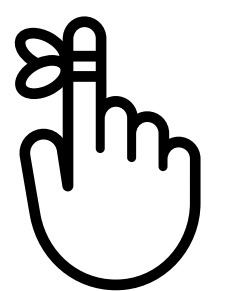
$$U = -W \Delta y$$



força peso: trabalho só na  
direção vertical:

$$U = F_c \cos\theta \Delta s$$





# Casos particulares

Revisão aula passada...

$$U = \int_{s_1}^{s_2} F_s \, ds$$

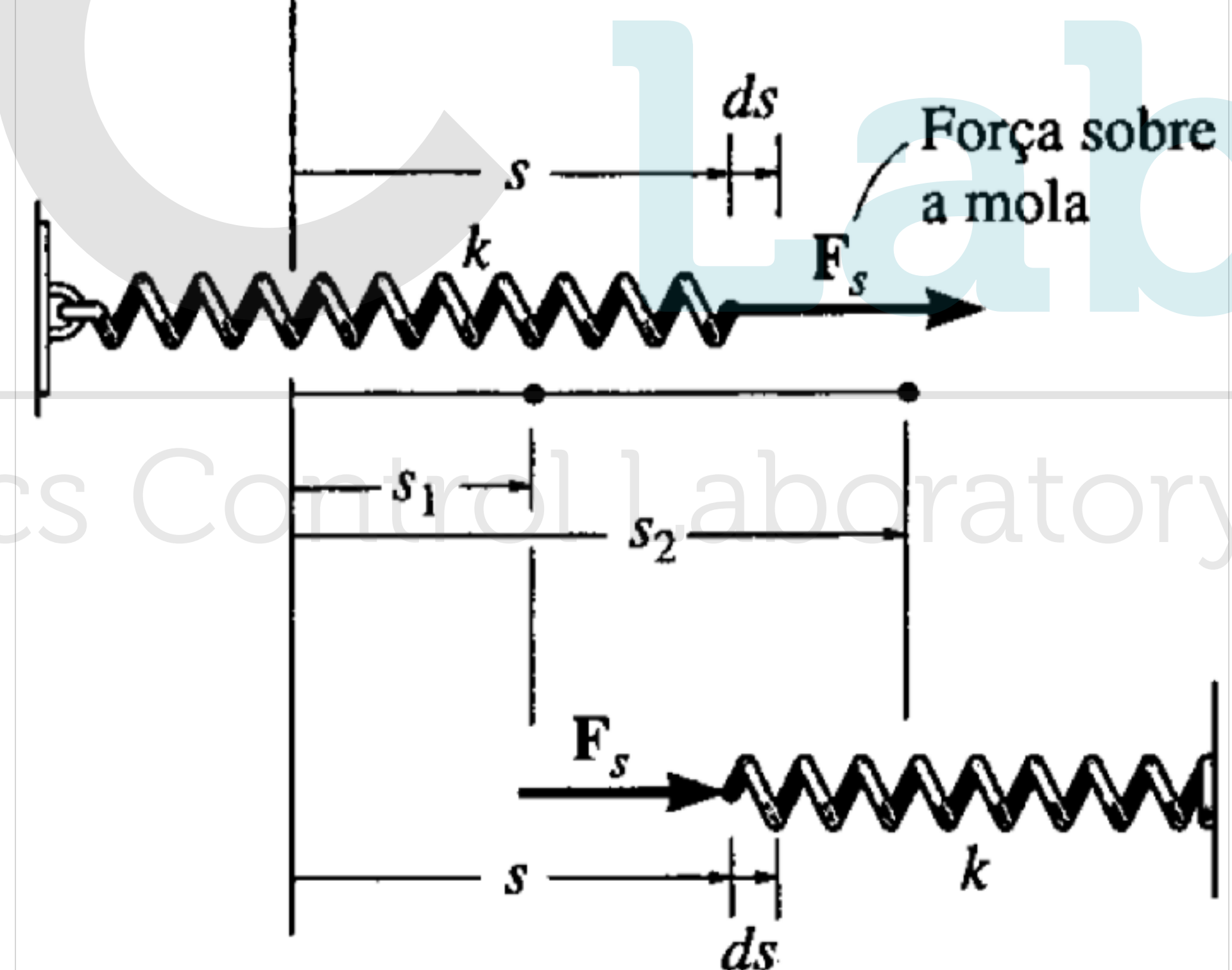
$$F_s \, ds = k \int_{s_1}^{s_2} s \, ds$$



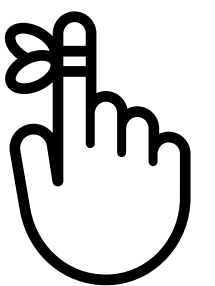
força de uma  
mola

$$F_s = ks$$

Mola não deformada,  
posição  $s = 0$



$$U = \frac{1}{2} k (s_2^2 - s_1^2)$$



# Potência

$$P \equiv \frac{dU}{dt}$$

$$dU = \mathbf{F} \cdot d\mathbf{r}$$

$$P = \frac{\mathbf{F} \cdot d\mathbf{r}}{dt}$$

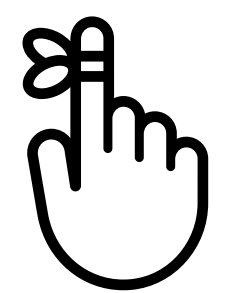
Revisão aula passada...



ARC Lab

Advanced Robotics Control Laboratory

$$P = \mathbf{F} \cdot \mathbf{v}$$



# Princípio do trabalho e energia

Revisão aula passada...

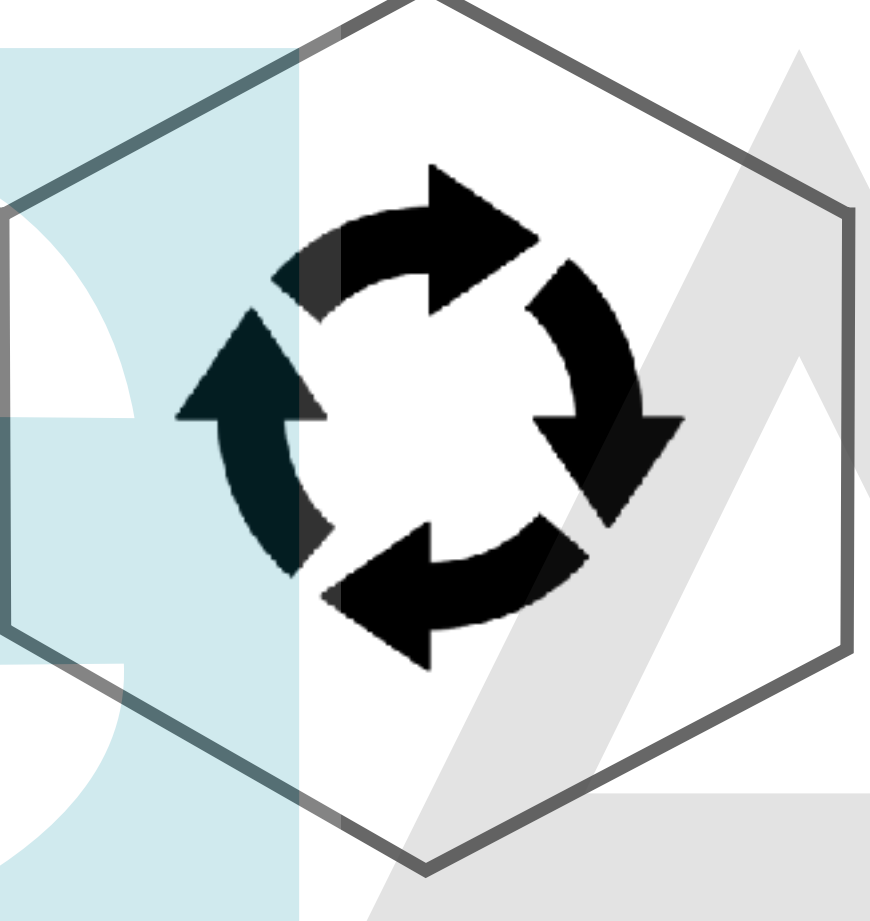


$$\sum_i U_i = T_2 - T_1$$

$$T_1 + \sum_i U_i = T_2$$

ARC Lab

# Objetivos da aula de hoje



**Introduzir forças  
conservativas e  
energia potencial**  
(Cap. 14.5 e 14.6)



**Desenvolver expressão  
para energia cinética  
em corpos rígidos**  
(Cap. 18)

# Conservação da energia em ação



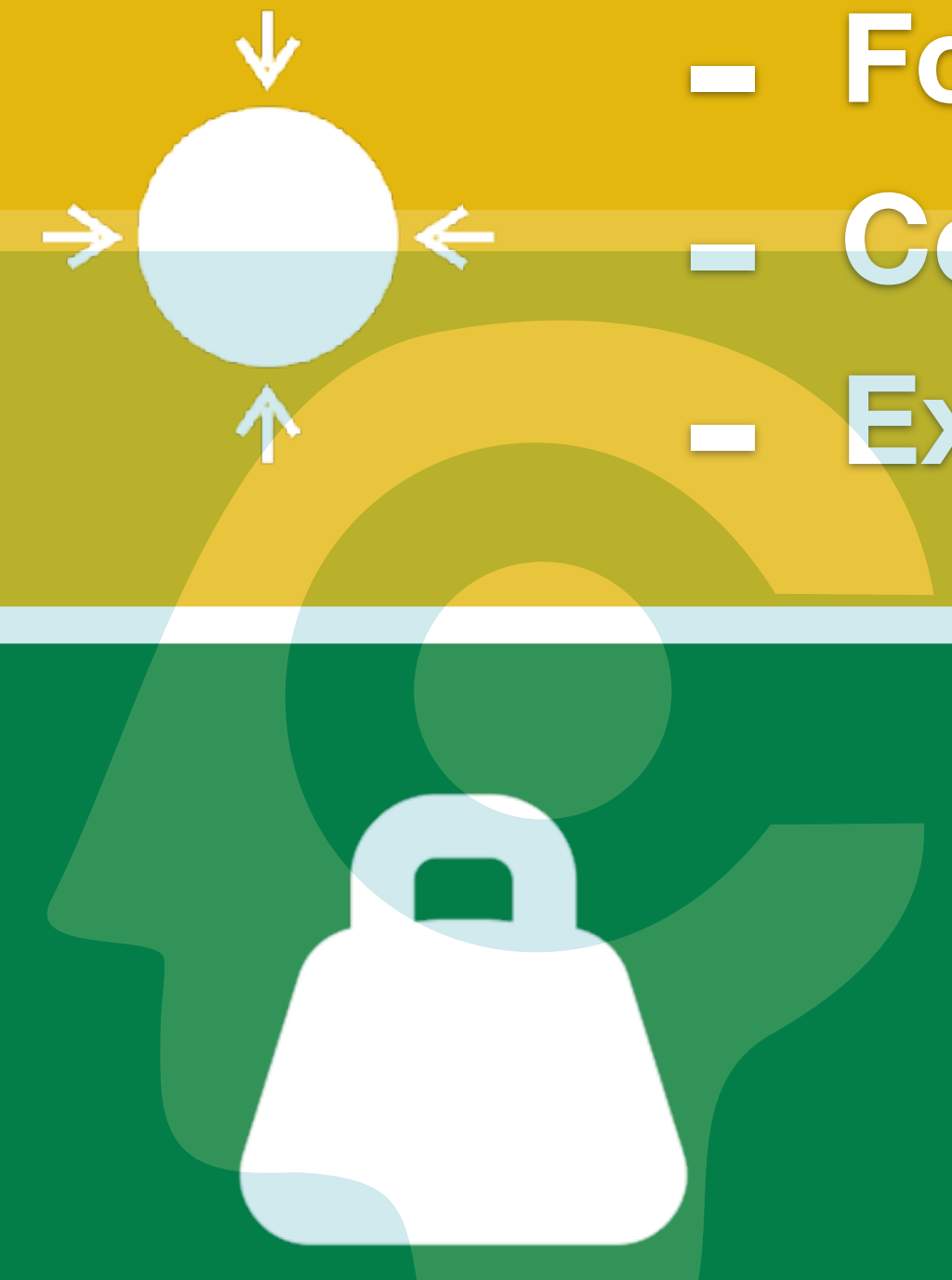
ARC  
Lab

atory

# Conteúdo

- Forças conservativas
- Conservação da energia
- Exemplo

Ponto material



- Trabalho: força e binário
- Princípio do trabalho e energia
- Exemplo

Corpos rígidos



- “Take-home messages”
- Próxima aula...

Conclusão

# Conteúdo



A diagram showing a white sphere representing a point mass in a circular field. The field is represented by concentric yellow circles. Four blue arrows originate from the sphere and point towards the center of the circles, representing conservative forces like gravity or magnetism. To the right of the diagram, there is a vertical yellow bar with the text "Ponto material" at the top and a grey arrow pointing right at the bottom.

- Forças conservativas
- Conservação da energia
- Exemplo

ARC Lab

Advanced Robotics Control Laboratory

Corpos rígidos

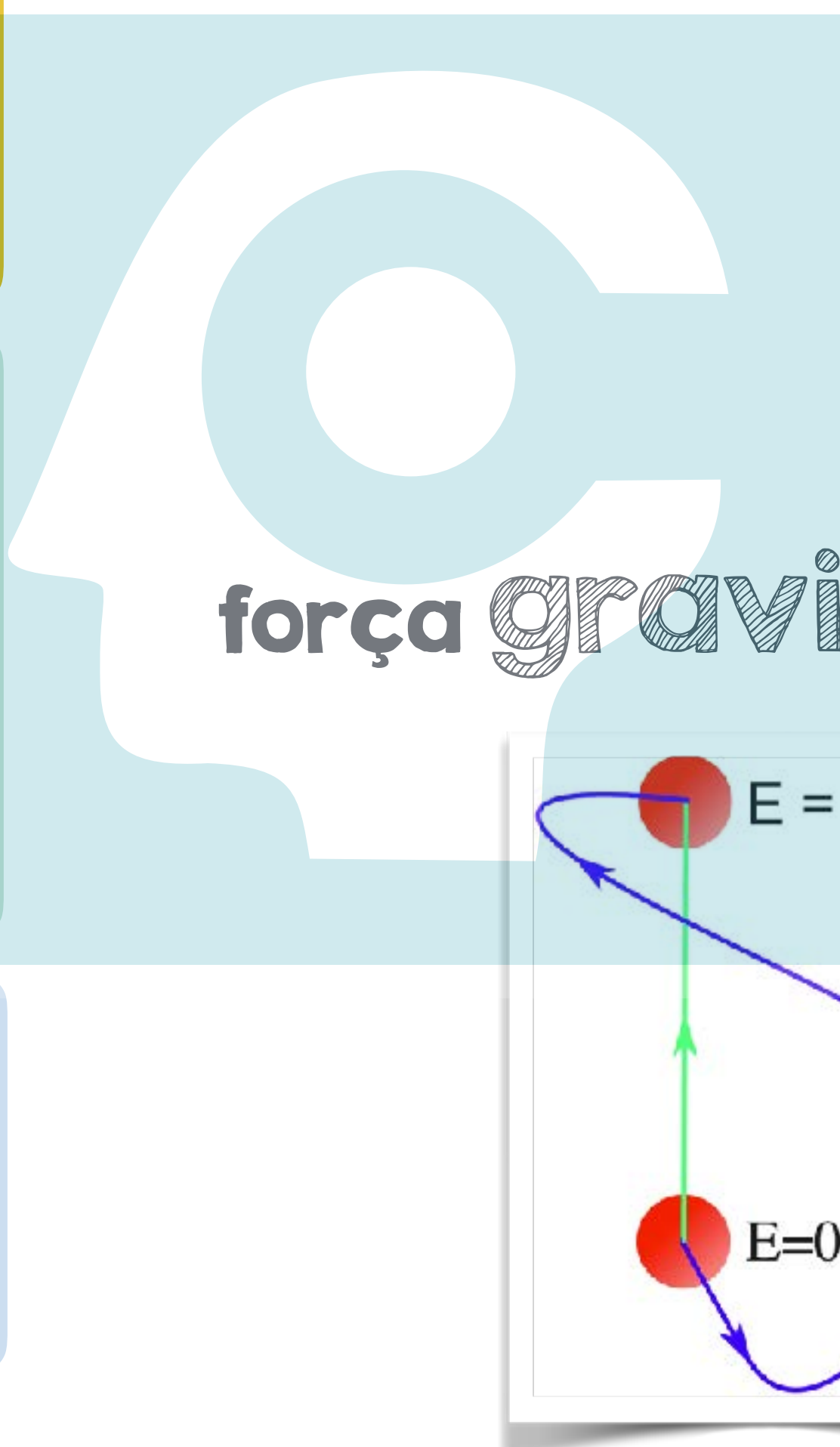
Conclusão

# Forças conservativas

Ponto material

Corpos rígidos

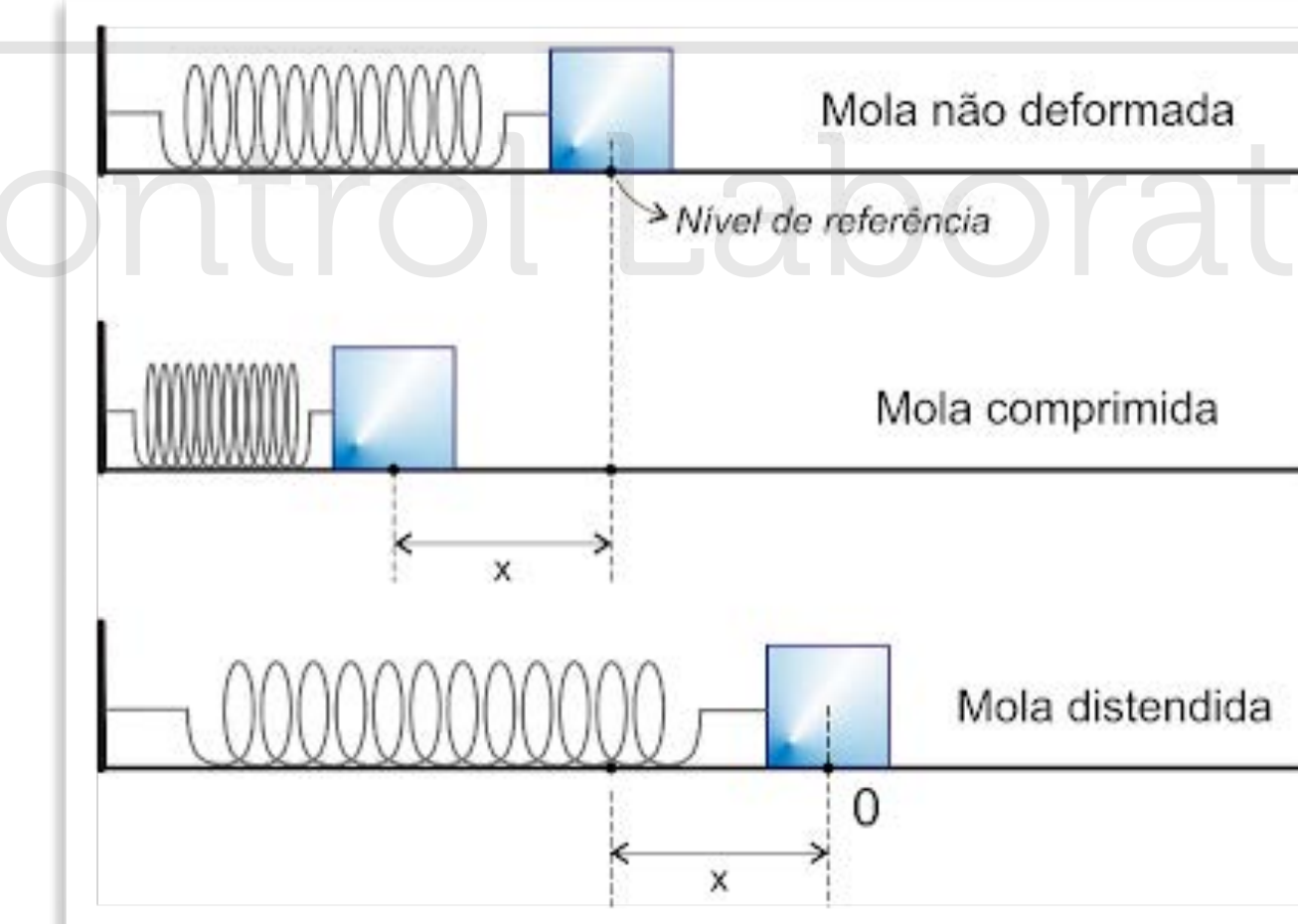
Conclusão



trabalho independe da trajetória  
(conserva a energia!)



força elástica

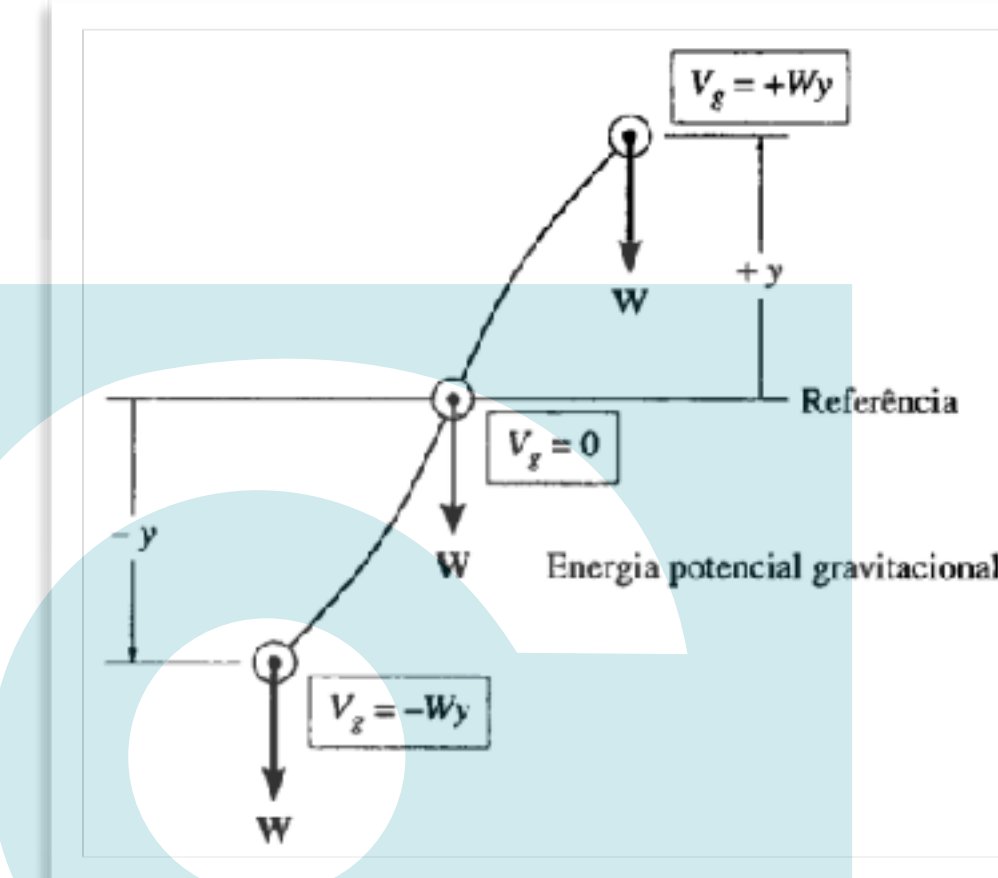


# Forças conservativas

Ponto material

Corpos rígidos

Conclusão



energia potencial  
gravitacional

$$U = V_{g1} - V_{g2}$$

$$V_g \equiv Wy = mg y$$

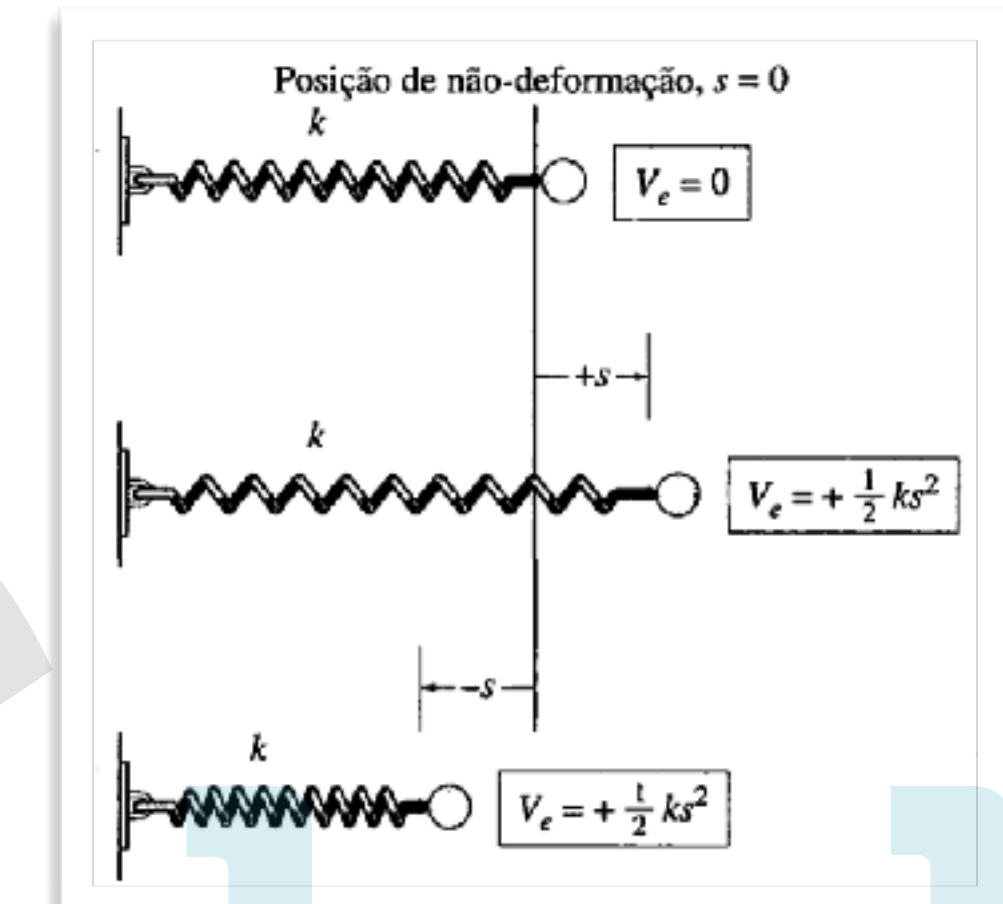
trabalho é função de uma  
energia potencial

$$U = -W \Delta y$$

$$U = \frac{1}{2}k(s_2^2 - s_1^2)$$

$$U = V_1 - V_2$$

$V \equiv V(x, y, z)$   
depende somente  
da posição



energia potencial  
elástica

$$U = V_{e1} - V_{e2}$$

$$V_e \equiv \frac{1}{2}ks^2$$

# Forças conservativas

Ponto material

Corpos rígidos

Conclusão

$$U = V_1 - V_2$$

$$V \equiv V(x, y, z)$$

$$dU = V_1(x, y, z) - V_2(x + dx, y + dy, z + dz) = -dV(x, y, z)$$

$$dU = \mathbf{F} \cdot d\mathbf{r} = -dV(x, y, z)$$

$$F_x dx + F_y dy + F_z dz = - \left( \frac{\partial V}{\partial x} dx + \frac{\partial V}{\partial y} dy + \frac{\partial V}{\partial z} dz \right)$$

$$\mathbf{F} = -\nabla V$$

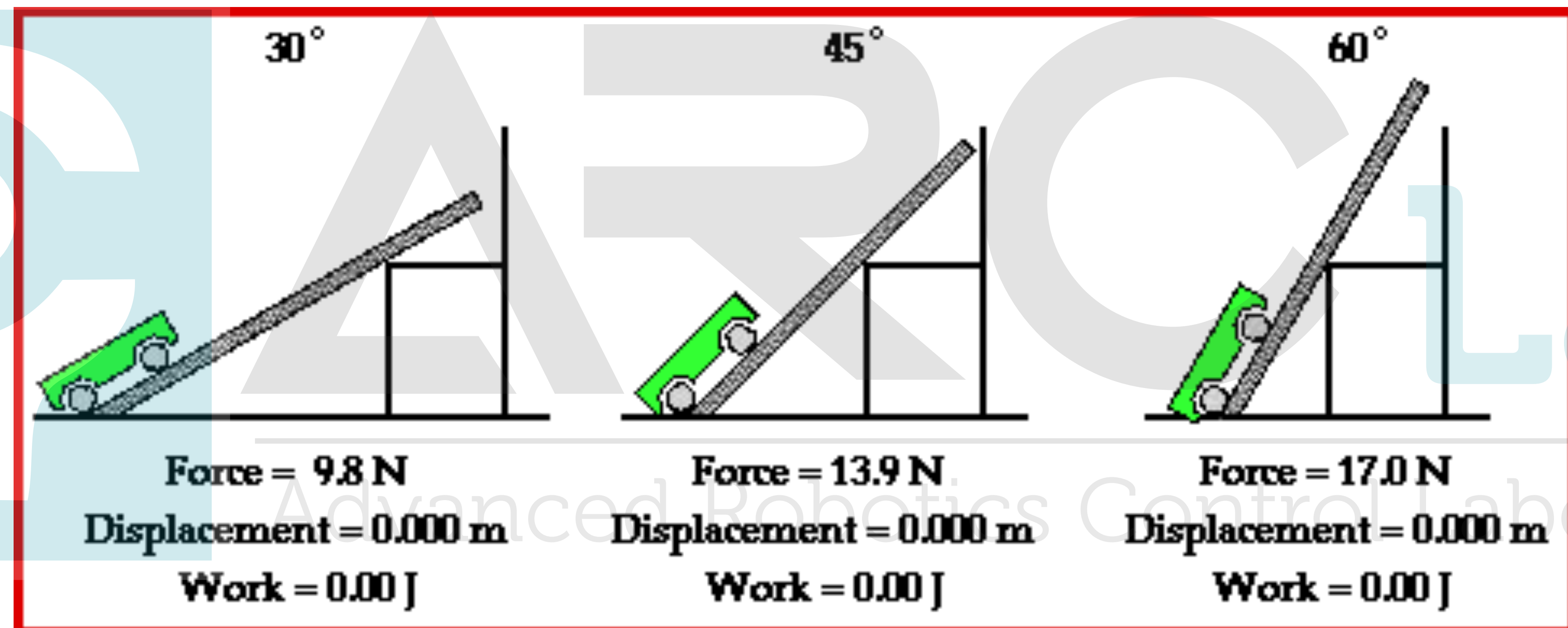
$$\nabla = \left( \frac{\partial}{\partial x} \right) \mathbf{i} + \left( \frac{\partial}{\partial y} \right) \mathbf{j} + \left( \frac{\partial}{\partial z} \right) \mathbf{k}$$

# Forças conservativas

Ponto material

Corpos rígidos

Conclusão



[www.physicsclassroom.com](http://www.physicsclassroom.com)

# Princípio do trabalho e energia: sistemas conservativos

Ponto material

Corpos rígidos

Conclusão

princípio do  
trabalho e energia

$$U = V_1 - V_2$$

$$\sum_i U_i = T_2 - T_1$$

quando todas as forças são  
conservativas:

$$V_1 - V_2 = T_2 - T_1$$

$$T_1 + V_1 = T_2 + V_2$$

conservação  
da energia mecânica

# Conservação da energia mecânica: pêndulo

A Última aula do Prof. Walter Lewin...



Ponto material

Corpos rígidos

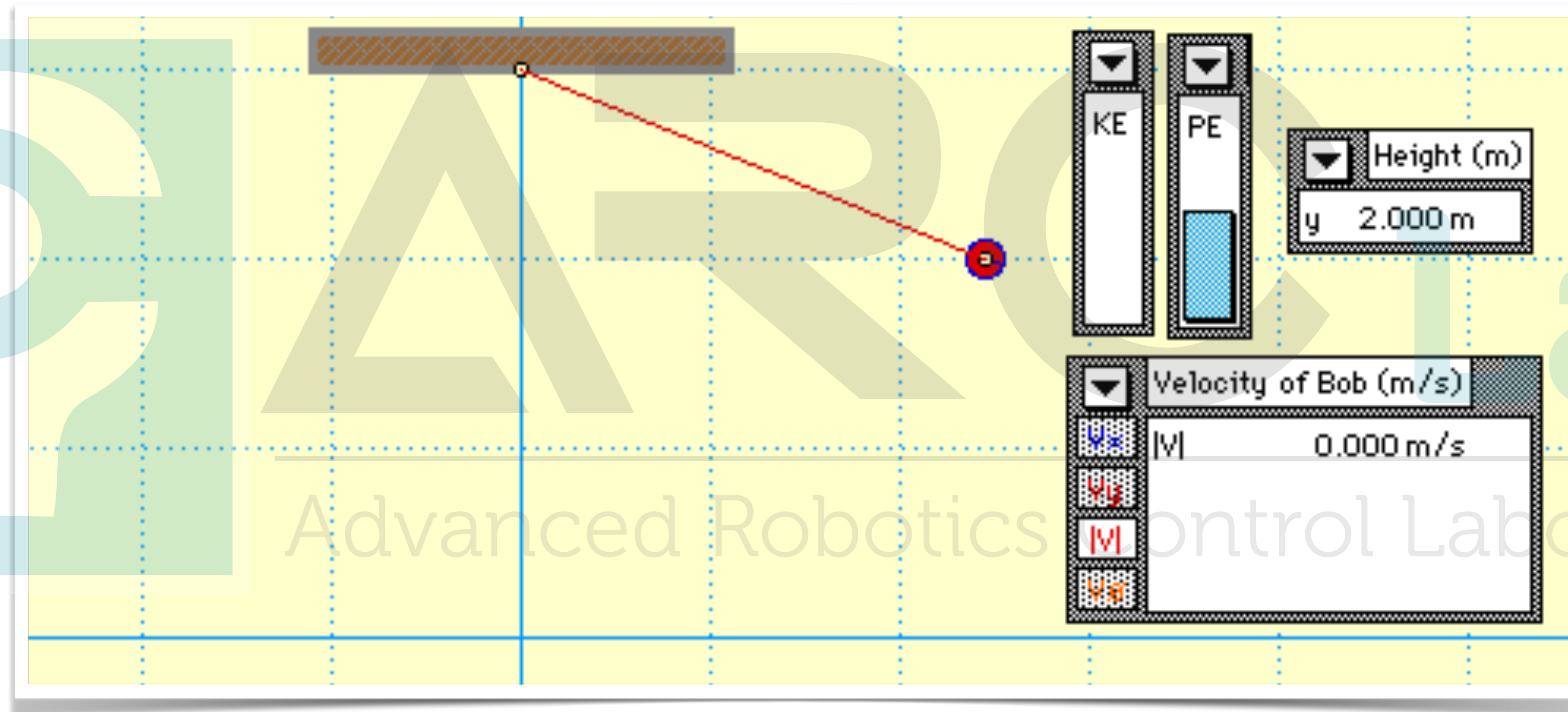
Conclusão

# Conservação da energia mecânica: pêndulo

Ponto material

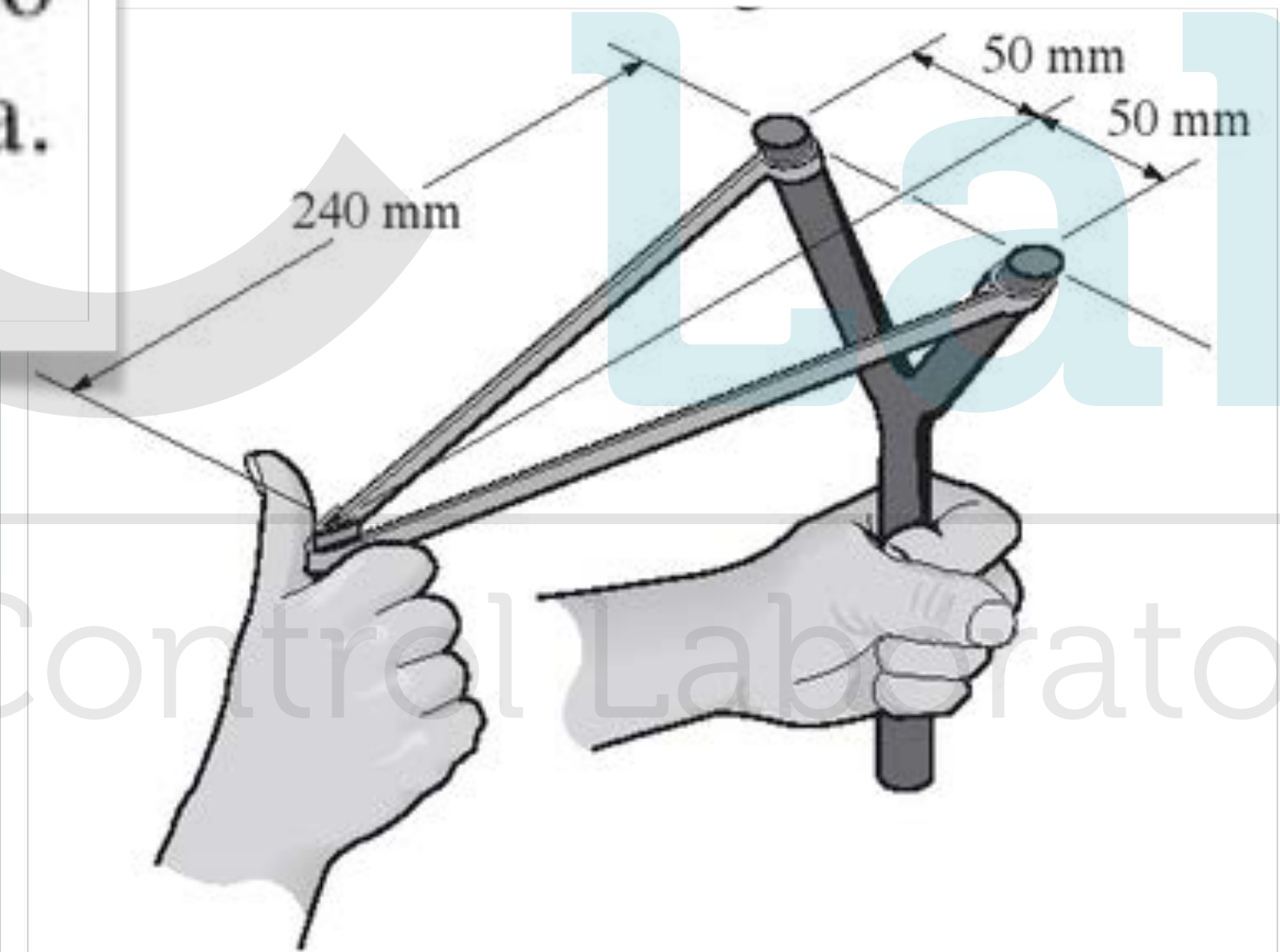
Corpos rígidos

Conclusão



[www.physicsclassroom.com](http://www.physicsclassroom.com)

**14.78.** Cada uma das duas tiras de elástico do estilingue tem um comprimento não deformado de 200 mm. Se elas são puxadas para trás para a posição mostrada e soltas do repouso, determine a altura máxima que o chumbinho de 25 g vai alcançar se ele for atirado verticalmente para cima. Despreze a massa das tiras de borracha e a variação na elevação do chumbinho enquanto ele está preso pelas tiras de borracha. Cada tira de borracha tem uma rigidez de  $k = 50 \text{ N/m}$ .



# Conteúdo

Ponto material



- Trabalho: força e binário
- Princípio do trabalho e energia
- Exemplo

Corpos rígidos

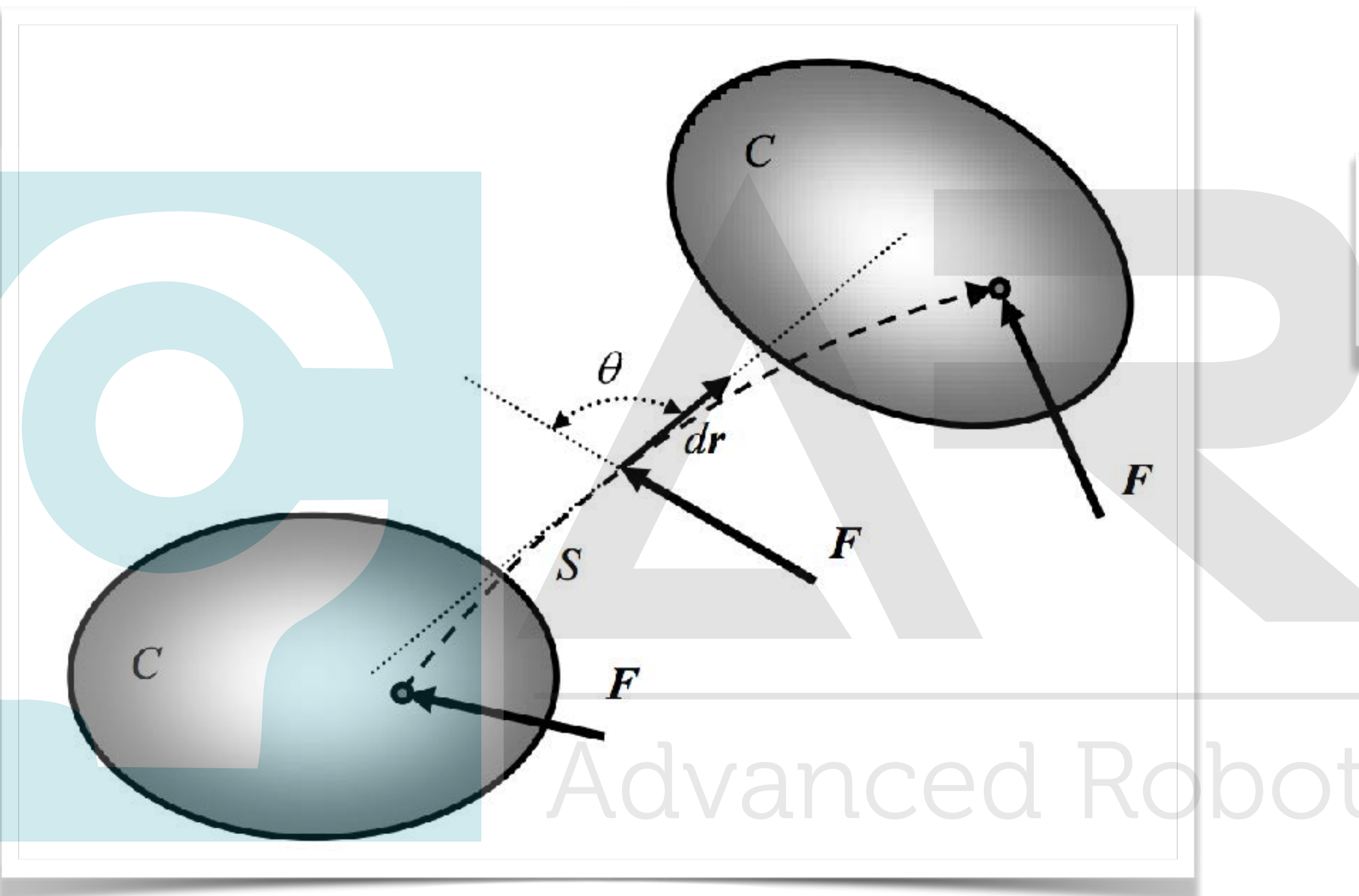
Conclusão

# Trabalho de uma força externa

Ponto material

Corpos rígidos

Conclusão



$$U = \int_{\mathbf{r}}^{\mathbf{r}'} \mathbf{F} \cdot d\mathbf{r} = \int_{s_1}^{s_2} F \cos\theta \ ds$$

...> **força constante e movimento retílineo:**

$$U = F_c \cos\theta \int_{s_1}^{s_2} ds = F_c \cos\theta \Delta s$$



**força peso:**

$$U = -W \Delta y$$

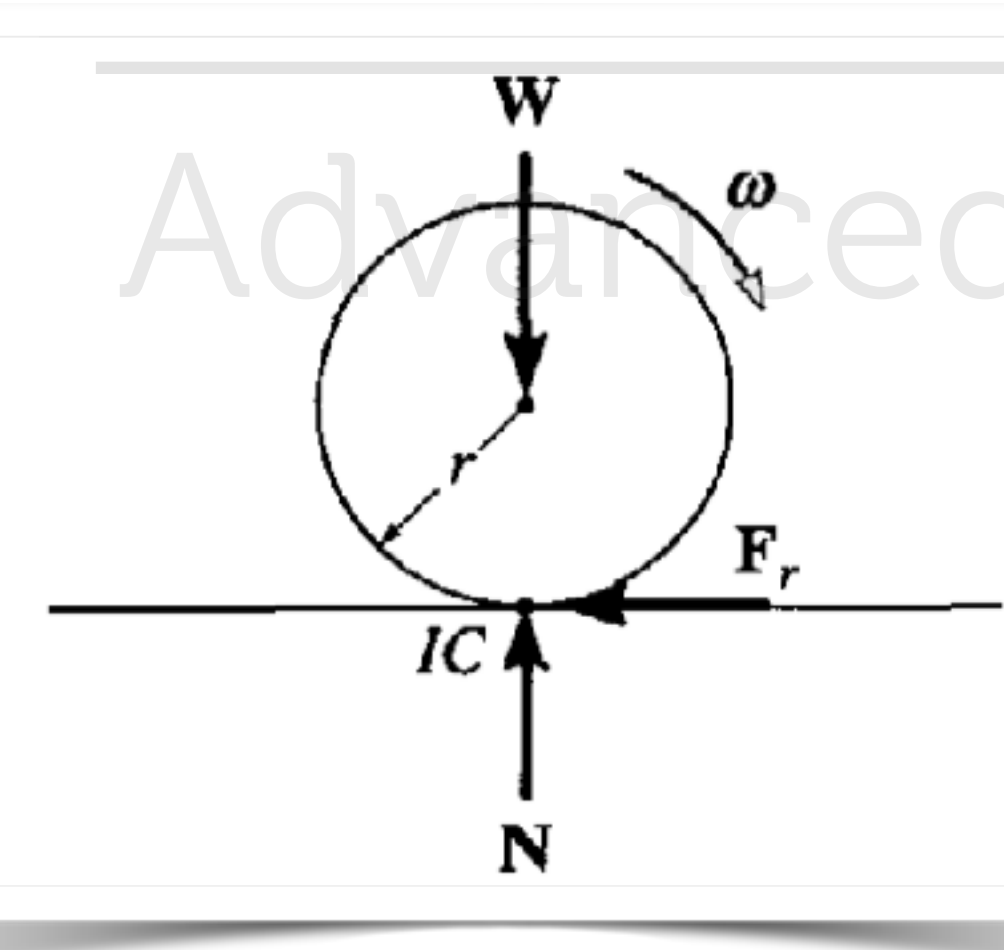


**força de uma mola:**

$$U = -\frac{1}{2}k(s_2^2 - s_1^2)$$

# Forças que não realizam trabalho

Ponto material  
Corpos rígidos  
Conclusão



reações de apoio



forças perpendiculares

Advanced Robotics Control Laboratory

**Forças de atrito sem escorregamento**

# Trabalho de um binário

Ponto material

Corpos rígidos

Conclusão

**binário  
par de forças**

iguais  
paralelas  
opostas

produzem  
**somente**  
rotação

$$\mathbf{M} = \mathbf{F}b$$

trabalho:

$$dU = \mathbf{F} \cdot d\mathbf{r}$$

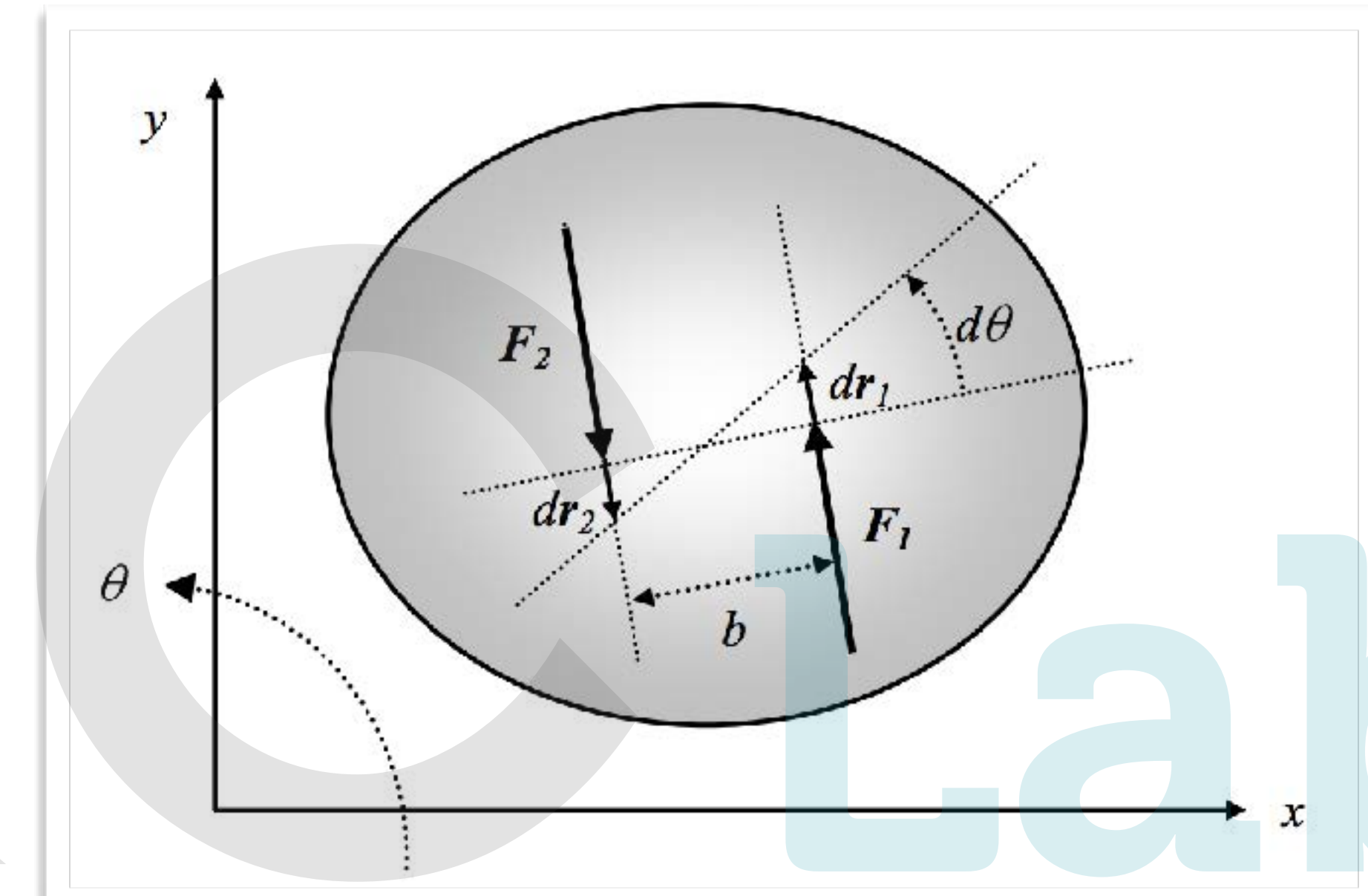
$$dU_M = \mathbf{F}_1 \cdot d\mathbf{r}_1 + \mathbf{F}_2 \cdot d\mathbf{r}_2 = 2Fdr = Fb d\theta$$

$$U_M = \int_{\theta_1}^{\theta_2} M d\theta$$

$$\mathbf{F} = \mathbf{F}_1 = -\mathbf{F}_2$$

$$d\mathbf{r} = d\mathbf{r}_1 = -d\mathbf{r}_2$$

$$dr = \frac{b}{2} d\theta$$

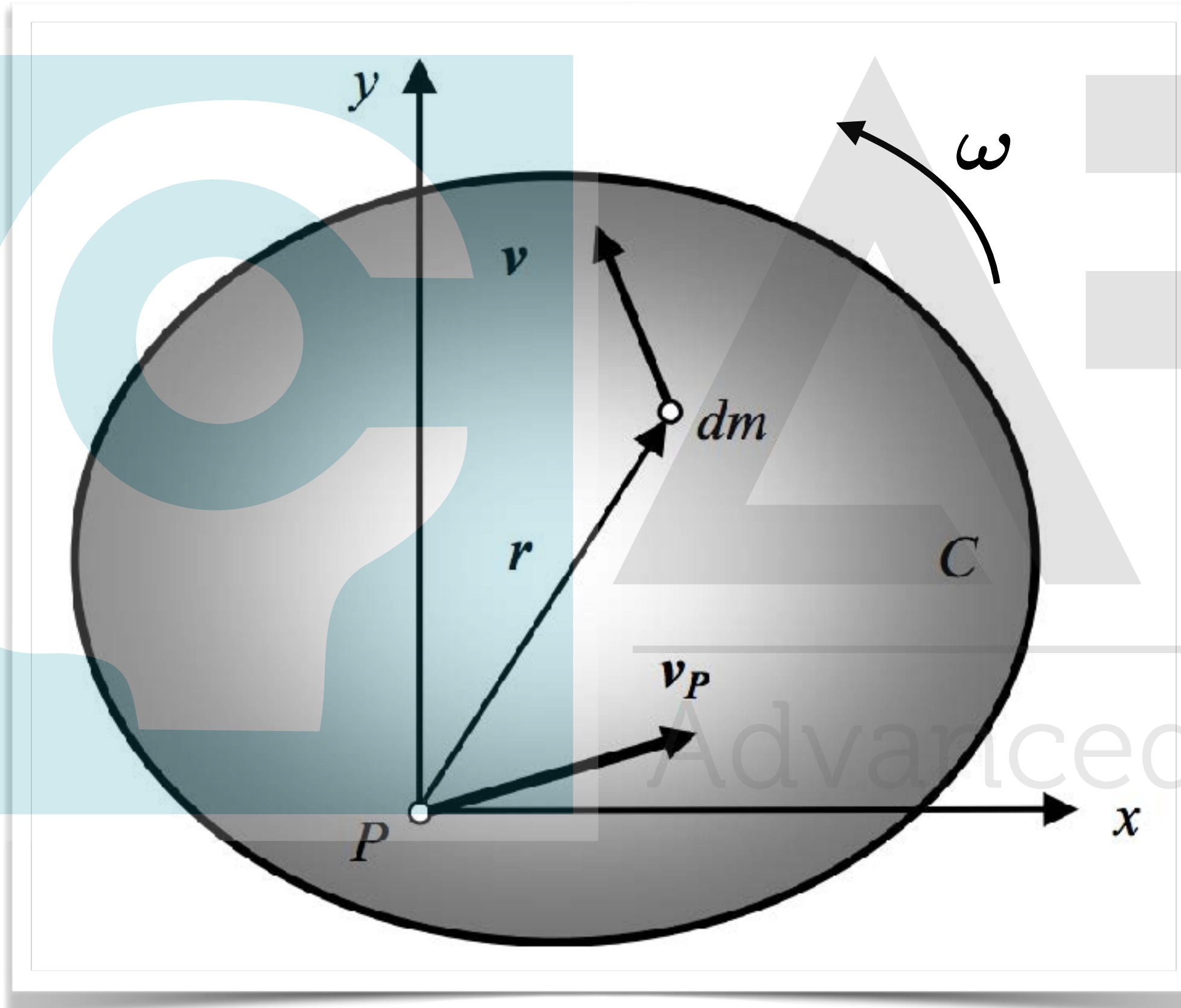


# Energia cinética para um corpo rígido

Ponto material

Corpos rígidos

Conclusão



partícula:

$$T = \frac{1}{2}mv^2$$

corpo rígido:

$$T = \frac{1}{2} \int_m v^2 dm$$

Cinemática:

$$\mathbf{v} = v_{P_x} \mathbf{i} + v_{P_y} \mathbf{j} + \omega \mathbf{k} \times (x \mathbf{i} + y \mathbf{j})$$

$$\mathbf{v} = (v_{P_x} - \omega y) \mathbf{i} + (v_{P_y} + \omega x) \mathbf{j}$$

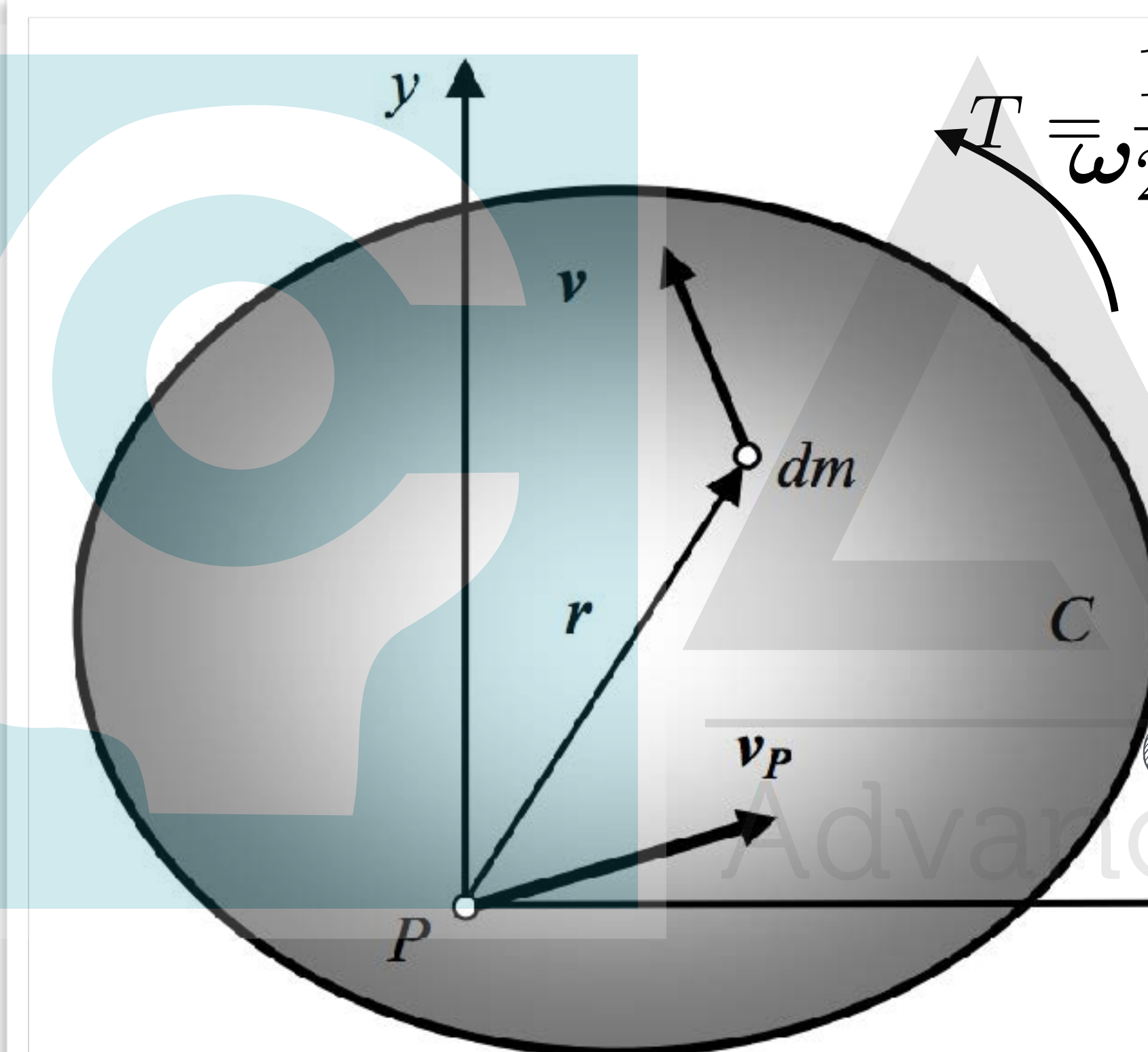
$$v^2 = \mathbf{v} \cdot \mathbf{v} = (v_{P_x} - \omega y)^2 + (v_{P_y} + \omega x)^2$$

# Energia cinética para um corpo rígido

Ponto material

Corpos rígidos

Conclusão



$$T = \frac{1}{2} \int_m [(v_{Px} - \omega y)^2 + (v_{Py} + \omega x)^2] dm$$

$$T = \frac{1}{2} \int_m v_P^2 dm - v_{Px} \omega \int_m y dm + v_{Py} \omega \int_m x dm + \frac{1}{2} \omega^2 \int_m r^2 dm$$

$$x_G = \frac{1}{m} \int_m x dm$$

$$y_G = \frac{1}{m} \int_m y dm$$

$$I_P = \int_m (x^2 + y^2) dm$$

$$T = \frac{1}{2} m v_P^2 - v_{Px} \omega y_G m + v_{Py} \omega x_G m + \frac{1}{2} I_P \omega^2$$

$$T = \frac{1}{2} m v^2$$

**P = G**

$$T = \frac{1}{2} m v_G^2 + \frac{1}{2} I_G \omega^2$$

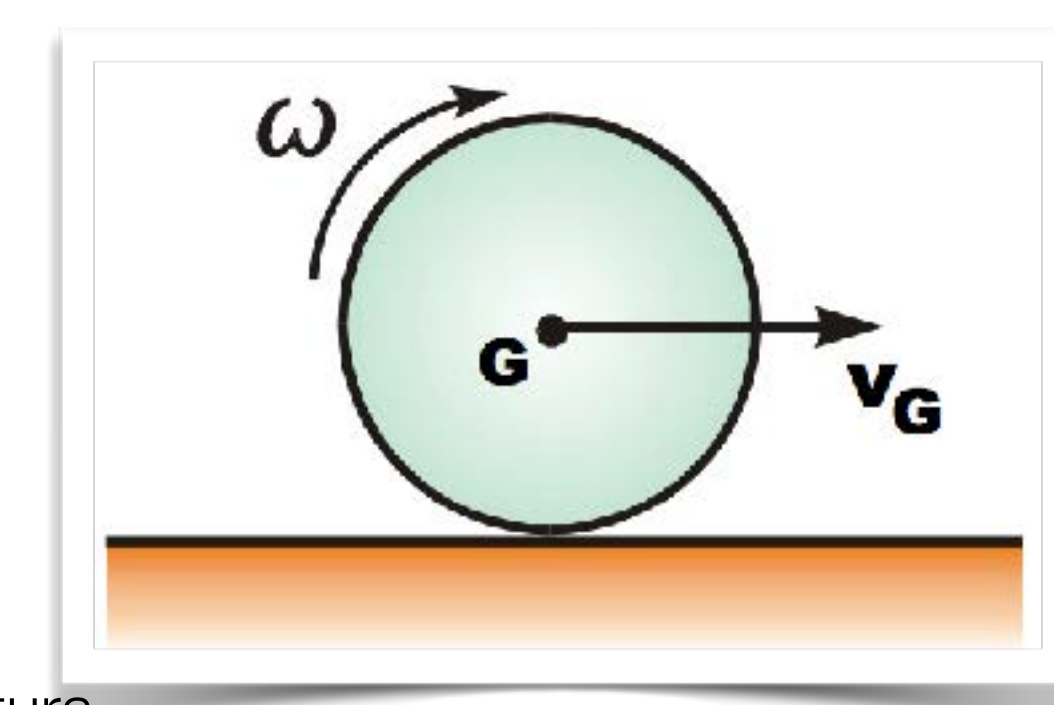
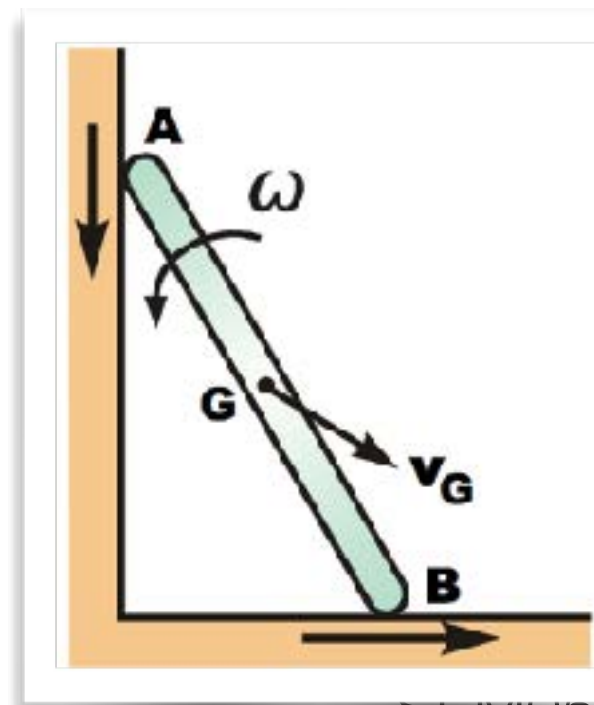
# Princípio do trabalho e energia

igual ao ponto material, só que diferente...

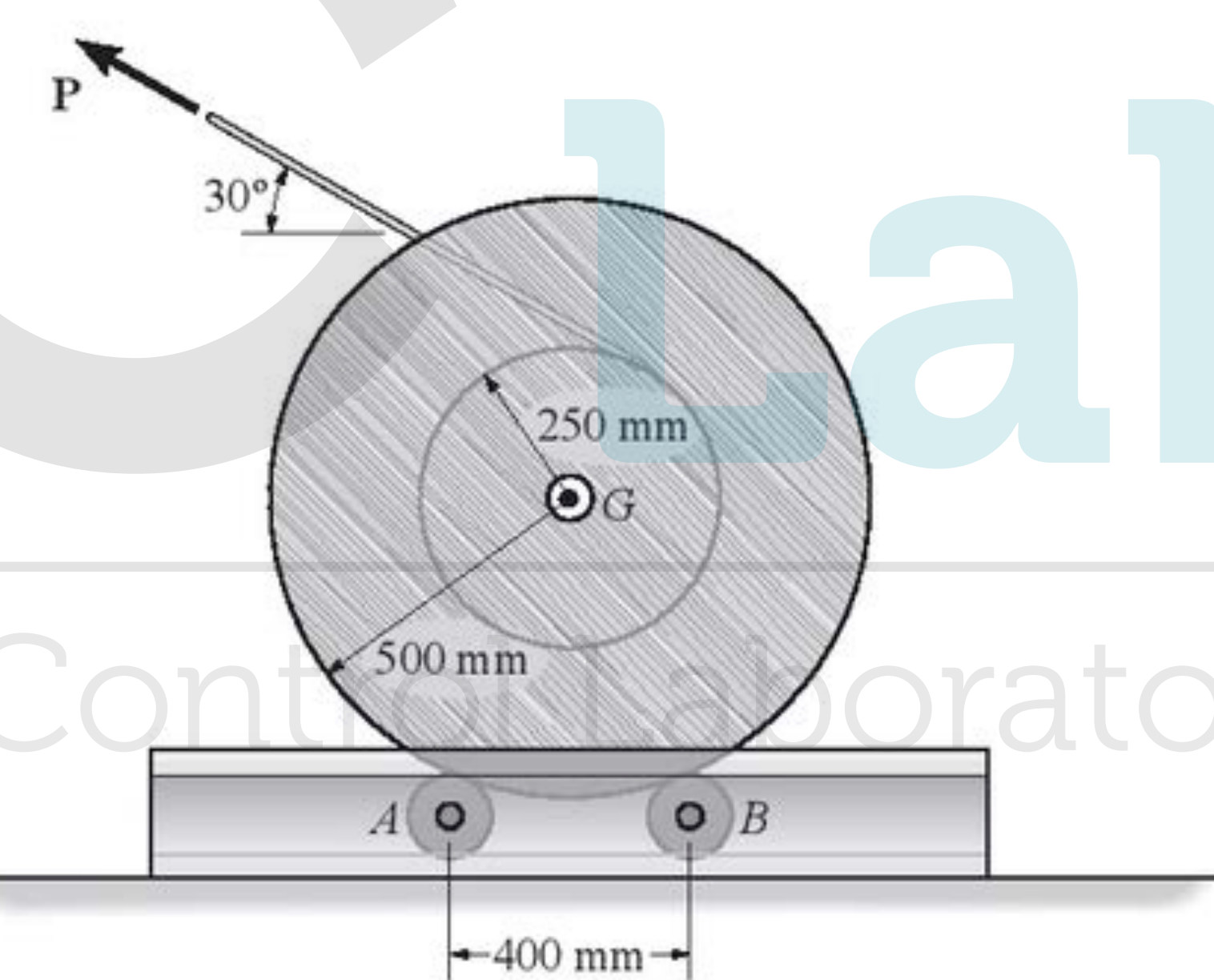
$$\sum_i U_i = T_2 - T_1$$

soma dos trabalhos de todas  
as forças externas e  
torques de binário

energia cinética de  
translação e  
rotação final e inicial



**18.3.** Uma força  $P = 20 \text{ N}$  é aplicada ao cabo, o qual faz a bobina de 175 kg girar sem deslizar sobre os dois rolos,  $A$  e  $B$ , do distribuidor. Determine a velocidade angular da bobina após ela haver completado duas revoluções, partindo do repouso. Despreze a massa do cabo. Cada rolo pode ser considerado um cilindro de 18 kg, tendo um raio de 0,1 m. O raio de giração da bobina em relação a seu eixo central é  $k_G = 0,42 \text{ m}$ .

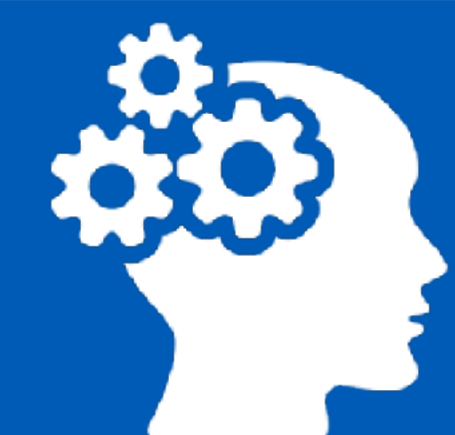


# Conteúdo

Ponto material  
Corpos rígidos



Advanced Robotics Control Laboratory



- “Take-home messages”
- Próxima aula...

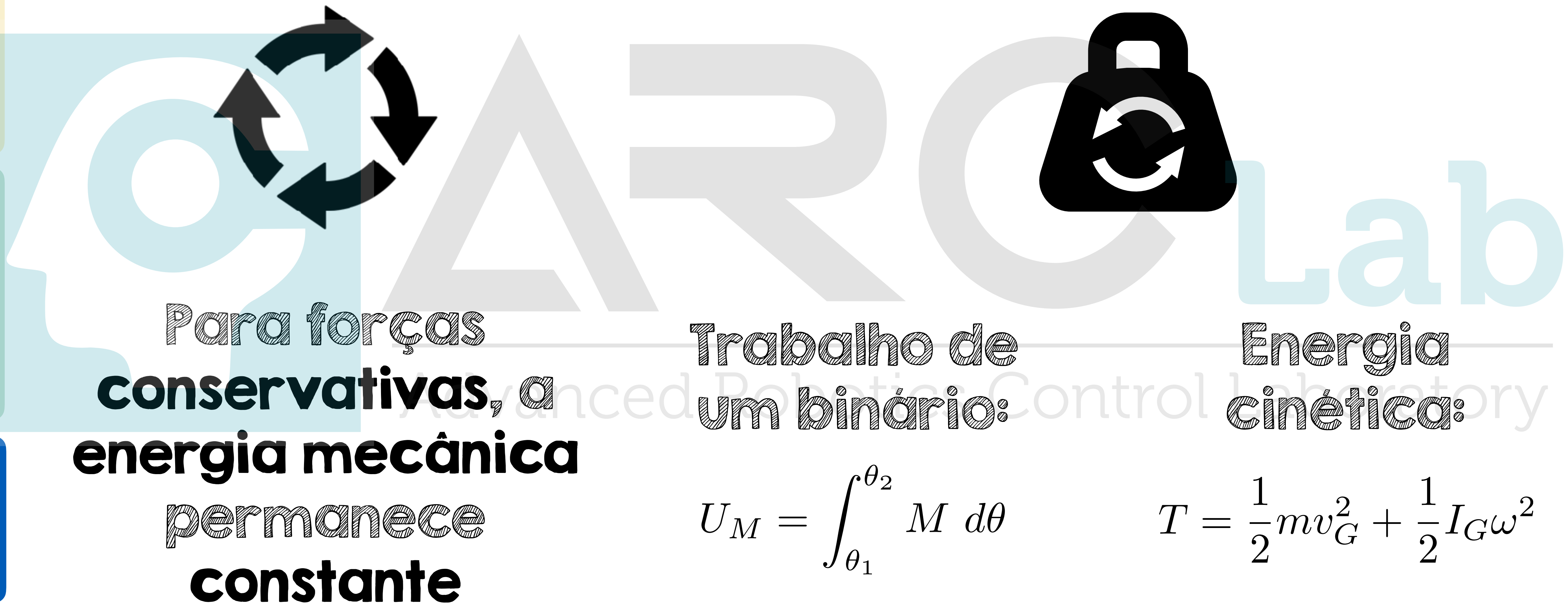
Conclusão

# “Take-home messages”

Ponto material

Corpos rígidos

Conclusão



# Lista de exercícios para próxima aula...

Ponto material

Corpos rígidos

Conclusão



Advanced Robotics Control Laboratory

**14.84, 14.89, 18.3, 18.15, 18.19**



# PoC Dúvidas? ab

Advanced Robotics Control Laboratory

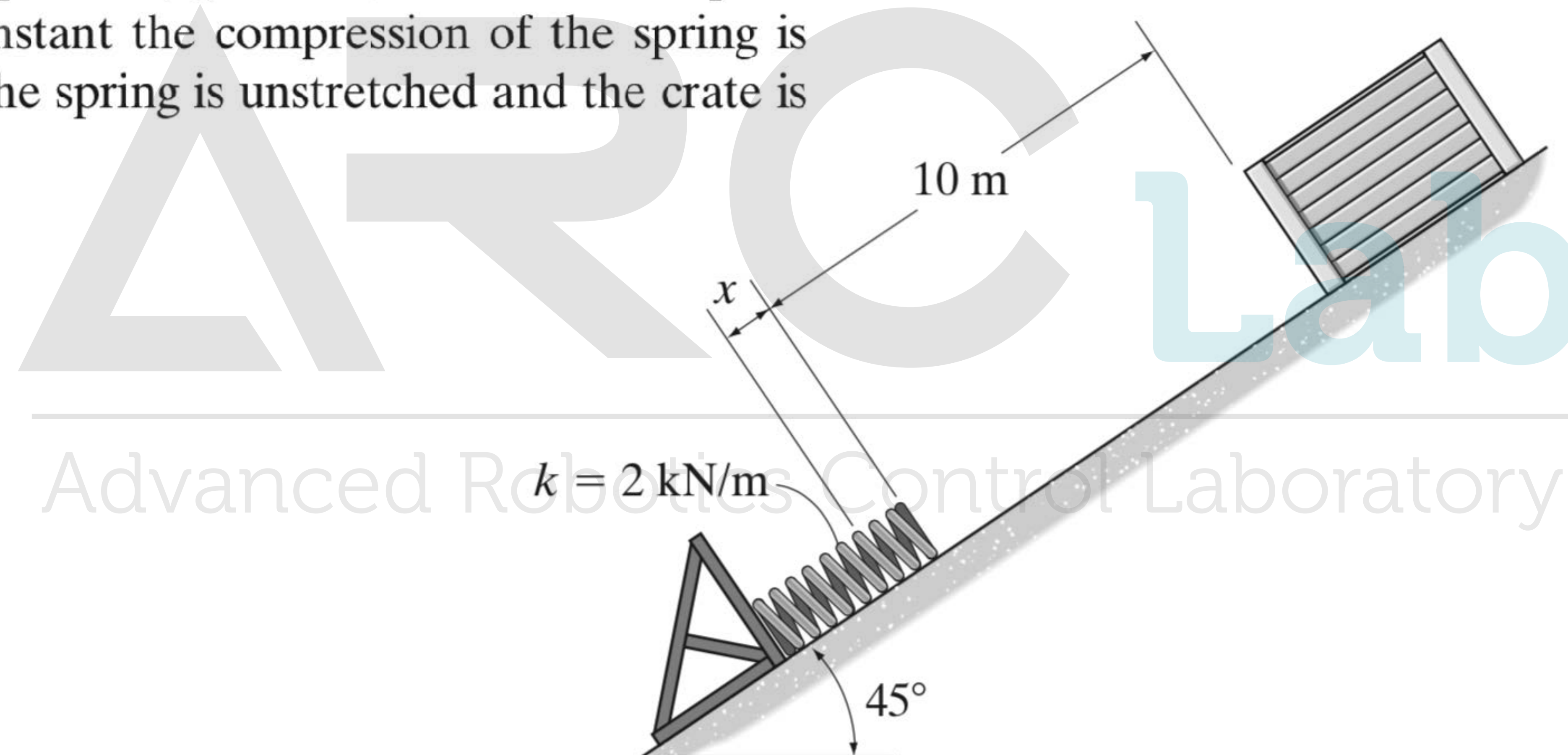
# Exercício valendo nota



ARC  
Lab  
Advanced robotics control  
Laboratory

# Exercício valendo nota

If the coefficient of kinetic friction between the 100-kg crate and the plane is  $\mu_k = 0.25$ , determine the speed of the crate at the instant the compression of the spring is  $x = 1.5 \text{ m}$ . Initially the spring is unstretched and the crate is at rest.



Advanced Robotics Control Laboratory

*That's all folks!*

Advanced Robotics Control Laboratory

# Gradiente

Substituindo esse resultado na Equação 14.17 e expressando a diferencial  $dV(x, y, z)$  em termos de suas derivadas parciais, temos

$$F_x dx + F_y dy + F_z dz = -\left(\frac{\partial V}{\partial x} dx + \frac{\partial V}{\partial y} dy + \frac{\partial V}{\partial z} dz\right)$$

Uma vez que mudanças em  $x, y, z$  são todas independentes umas das outras, essa equação é satisfeita se

$$F_x = -\frac{\partial V}{\partial x}, \quad F_y = -\frac{\partial V}{\partial y}, \quad F_z = -\frac{\partial V}{\partial z} \quad (14.18)$$

Assim:

$$\begin{aligned}\mathbf{F} &= -\frac{\partial V}{\partial x} \mathbf{i} - \frac{\partial V}{\partial y} \mathbf{j} - \frac{\partial V}{\partial z} \mathbf{k} \\ &= -\left(\frac{\partial}{\partial x} \mathbf{i} + \frac{\partial}{\partial y} \mathbf{j} + \frac{\partial}{\partial z} \mathbf{k}\right) V\end{aligned}$$

ou

$$\mathbf{F} = -\nabla V$$

(14.19)

onde  $\nabla$  representa o operador vetorial  $\nabla = (\partial/\partial x)\mathbf{i} + (\partial/\partial y)\mathbf{j} + (\partial/\partial z)\mathbf{k}$ .

A Equação 14.19 relaciona a força  $\mathbf{F}$  com a função potencial  $V$  e, portanto, fornece um critério matemático para garantir que  $\mathbf{F}$  seja conservativa. Por exemplo, a função potencial gravitacional para um peso situado a uma distância  $y$  acima de uma referência é  $V_g = W y$ . Para provar que  $\mathbf{W}$  é conservativo, é necessário mostrar que a Equação 14.19 (ou a Equação 14.18) é satisfeita, caso em que

$$F_y = -\frac{\partial V}{\partial y}; \quad F = -\frac{\partial}{\partial y}(W y) = -W$$

Golwala, 2007

# Quadrado modo velocidade

O quadrado do módulo da velocidade  $\mathbf{v}_i$  é então

$$\begin{aligned}\mathbf{v}_i \cdot \mathbf{v}_i = v_i^2 &= [(v_P)_x - \omega y]^2 + [(v_P)_y + \omega x]^2 \\ &= (v_P)_x^2 - 2(v_P)_x \omega y + \omega^2 y^2 + (v_P)_y^2 + 2(v_P)_y \omega x + \omega^2 x^2 \\ &= v_P^2 - 2(v_P)_x \omega y + 2(v_P)_y \omega x + \omega^2 r^2\end{aligned}$$

Advanced Robotics Control Laboratory

# Trabalho de um binário

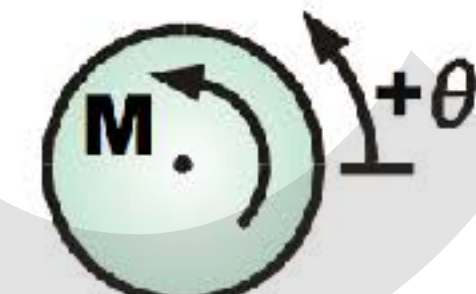
## Work-Energy (WE) for Rigid Bodies

**More on the work of a couple:** If a couple,  $M$ , is a function of  $\theta$ , like the torsional spring on a mouse or rat trap, the energy stored in the spring is the area under the  $M$  vs.  $\theta$  curve.

**Work of a couple:**  $M$  = couple or torque, lb-ft or N-m

$$U_M = M \cdot \theta$$

$\theta$  = angular displacement, in radians



If the couple,  $M$ , varies with  $\theta$  like for a torsional spring:

$$U_M = \int M d\theta$$

Area under  $M(\theta)$  curve is energy:

Examples:  
Mouse trap  
Some hinges

